

**ФИЗИЧЕСКОЕ И ЧИСЛЕННОЕ  
МОДЕЛИРОВАНИЕ АЭРОДИНАМИКИ  
ЦИКЛОННОГО НАГРЕВАТЕЛЬНОГО УСТРОЙСТВА  
С РАСПРЕДЕЛЕННЫМ ВВОДОМ ГАЗА**

Засл. деятель науки и техн. России, докт. техн. наук, проф. САБУРОВ Э. Н.,  
асп. МАЛЬЦЕВ А. Н.

*Архангельский государственный технический университет*

Циклонные нагревательные устройства, обладающие большими возможностями значительной интенсификации конвективного теплообмена, снижения тепловой инерционности и автоматизации процесса нагрева, получили широкое распространение в промышленности [1–3]. Поэтому представляет несомненный интерес дальнейшее исследование их аэродинамики, определяющей технологические особенности и высокую интенсивность рабочего процесса. В связи с развитием компьютерных технологий для исследований аэродинамики циклонных устройств наряду с физическим моделированием перспективным является использование численного.

Физический эксперимент, результат которого приведен в работе, выполнен на модели циклонного нагревательного устройства (циклонной камеры), имеющей внутренний диаметр  $D_k = 2R_k = 310$  мм и длину  $L_k = 580$  мм. Внутренняя поверхность рабочего объема камеры являлась технически гладкой с шероховатостью обычного стального проката. Подвод воздуха в камеру осуществлялся тангенциально с диаметрально противоположных сторон входными каналами прямоугольного поперечного сечения – шлицами с внутренними размерами  $20 \times 44$  мм, расположеннымными практически равномерно (в шахматном порядке) по ее высоте. Оси ближайших к торцам рабочего объема шлицев находились на расстоянии  $z_{bx}$  от его глухого торца, равном 48 и 554 мм ( $z$  определялось по координате, совпадающей с осью рабочего объема). Безразмерные координаты местоположения шлицев  $\bar{z}_{bx} = z_{bx}/D_k$ ,  $z_{bx}$  равнялись с одной стороны камеры 0,442; 0,884; 1,335; 1,72, а с другой – 0,151; 0,536; 0,987; 1,429. Такое расположение шлицев в целом создавало распределенную систему ввода воздуха.

В опытах относительная площадь входа  $\bar{f}_{bx} = 4f_{bx}/\pi D_k^2 = 0,936$ , а относительная высота шлицев  $\bar{h}_{bx} = h_{bx}/D_k = 0,128$ . Отвод газа из камеры производился через обычный плоский пережим с относительным диаметром выходного отверстия  $\bar{d}_{vых} = d_{vых}/D_k$ , равным 0,2–0,7. Воздух, выходящий из камеры, выбрасывался в атмосферу. Его расход измеряли нормальным соплом, температуру – ртутным термометром с ценой деления 1 °C.

Во всех опытах подробное исследование полей скоростей и давлений производили предварительно протарированными пятиканальными шаровыми зондами с диаметром шарика 5 мм, а в отдельных опытах – цилиндрическим трехканальным зондом с диаметром насадка 2,6 мм. Сечения

замеров имели относительные продольные координаты  $\bar{z}_c = z_c/D_k$ , равные 0,226; 0,884 и 1,53, и находились в диаметральной плоскости, перпендикулярной тангенциальным шлицам. Вектор полной скорости, определяемой в каждой точке по радиусу камеры через 5 мм, раскладывался на три составляющие: тангенциальную  $w_\phi$ , осевую  $w_z$  и радиальную  $w_r$ . Перемещение зонда производили координатниками с точностью определения угла вектора полной скорости по отношению к горизонтали, равной  $1^\circ$ , и перемещения зонда в радиальном направлении 0,5 мм.

Численный эксперимент выполнен при использовании комплекса Ansys<sup>®</sup> CFD code CFX<sup>®</sup> 10.0. В качестве базовой модели турбулентности использовали модель  $k-\omega$ , которая представляет собой двухпараметрическую математическую модель, основанную на теории турбулентной вязкости [4]. Первоначально выполненные численные исследования с применением моделей Zero Equation (в основу модели положена теория пути смешения Прандтля) и  $k-\epsilon$  (двуихпараметрическая модель, состоящая из системы уравнений турбулентной кинетической энергии в потоке и вихревой диссипации) показали предпочтительность использования модели  $k-\omega$ .

На рис. 1 выполнено сопоставление опытных данных (точки) с расчетными распределениями (линии) безразмерной тангенциальной составляющей скорости потока  $\bar{w}_\phi(\bar{r})$  ( $\bar{w}_\phi = w_\phi/w_{bx}$ ,  $w_{bx}$  – среднерасходная скорость потока в шлицах;  $\bar{r} = r/R_k$ ,  $r$  – текущий радиус). Представленные данные позволяют отметить, что результаты физического и численного экспериментов по уровню тангенциальных скоростей удовлетворительно соответствуют друг другу в периферийной части рабочего объема камеры (при  $\bar{r} > 0,6$ ). Расчетные и соответствующие опытные распределения  $\bar{w}_\phi$  в окрестности заготовки различаются более существенно. Вероятно, это обусловлено принятыми расчетной геометрической схемой циклонной камеры и моделью турбулентности циклонного потока.

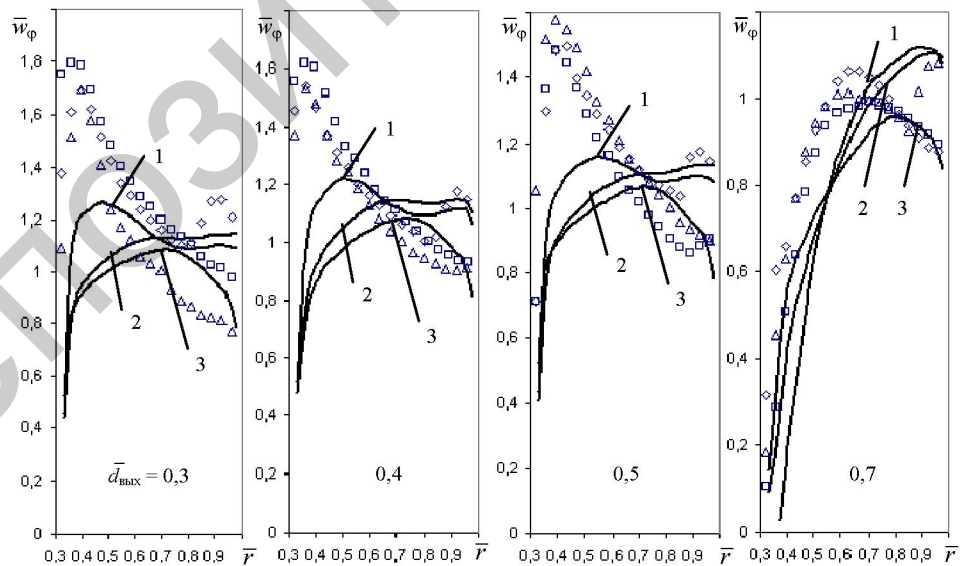


Рис. 1. Распределения опытных и расчетных значений  $\bar{w}_\phi$  при различных  $\bar{d}_{\text{вых}}$  и  $\bar{z}_c$ :

$\square - 1 - \bar{z}_c = 1,53; \triangleright - 2 - 0,884; \diamond - 3 - 0,226$

Воздух в камеру вводился равномерно распределенными по высоте восьмью тангенциальными струями, по четыре с диаметрально противоположных сторон. Струи взаимодействуют между собой и введенными в рабочий объем уже закрученными газами, образуют сложное поле скоростей, которое, вероятно, может быть рассчитано лишь при более сложной модели турбулентности (LES, DES и др.), что потребует в свою очередь применения многопроцессорных кластерных систем вычисления и значительно увеличения времени расчета. В то же время следует отметить, что полученные расчетные и опытные данные правильно описывают характерные особенности влияния параметра  $\bar{d}_{\text{вых}}$  на распределения  $\bar{w}_\phi$  в циклонной камере с загруженным рабочим объемом [1–3]. С увеличением диаметра выходного отверстия как опытные, так и расчетные безразмерные значения максимальной вращательной составляющей скорости потока снижаются, положение максимума  $\bar{w}_\phi$  смещается в область больших значений  $\bar{r}$ .

Следует заметить, что в более простых общих расчетных схемах геометрии циклонной камеры, например с локальным двусторонним вводом [5–6], а также для циклонных сепараторов [7, 8] совпадение расчетных данных, полученных с использованием пакета гидродинамического моделирования CFX® 10.0 (при применении той же двухпараметрической модели турбулентности  $k-\omega$ ), с результатами физического эксперимента по исследованию распределений  $\bar{w}_\phi$  было значительно лучшим.

Более удачное совпадение расчетных и опытных данных наблюдалось для осевой составляющей скорости потока  $\bar{w}_z$ . На рис. 2 приведены ее безразмерные величины  $\bar{w}_z = w_z/w_{\text{вх}}$ . Положительные значения  $\bar{w}_z$  соответствуют осевому направлению движения потока от глухого торца камеры к выходному.

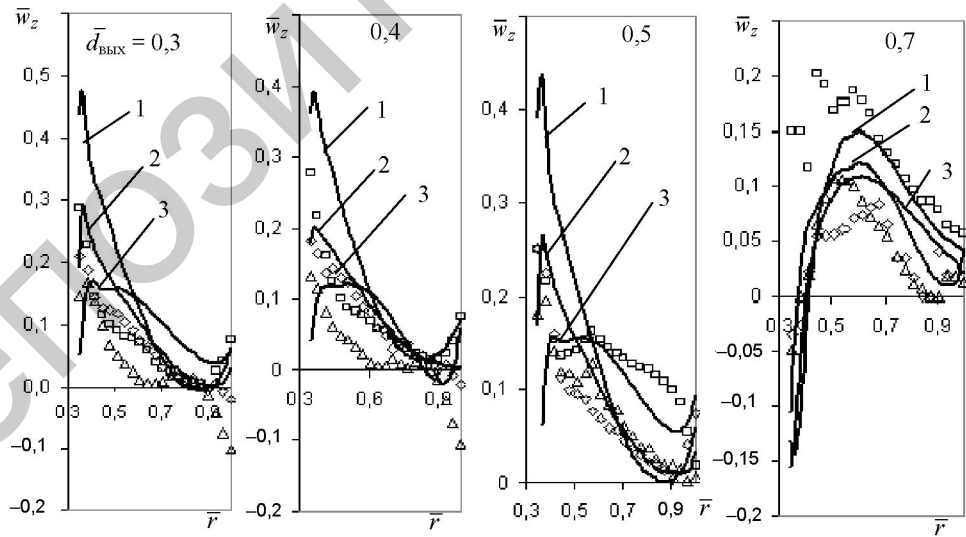


Рис. 2. Распределения опытных и расчетных значений  $\bar{w}_z$  при различных  $\bar{d}_{\text{вых}}$  и  $\bar{z}_c$ :

$\square - 1 - \bar{z}_c = 1,53; \triangleright - 2 - 0,884; \diamond - 3 - 0,226$

На данном этапе компьютерного моделирования аэродинамики циклонно-вихревых камер одним из его важнейших достоинств является возможность исследования вторичных течений в циклонном потоке, его структуры. Численное моделирование позволяет получить трехмерное поле скоростей – объемную картину течения. Что дает возможность выполнить анализ циклонного потока, рассматривая поле скоростей или проекции вектора полной скорости в различных плоскостях и областях течения.

На рис. 3 приведены расчетные проекции вектора полной скорости потока на диаметральную плоскость, перпендикулярную входным шлицам, а на рис. 4 – расчетные проекции траекторий частиц потока, ограничивающие потоки и вихревые области в рабочем объеме циклонного нагревательного устройства, на ту же плоскость. На рис. 3 и 4 показаны также контуры заготовки и поперечного сечения входных шлицев.

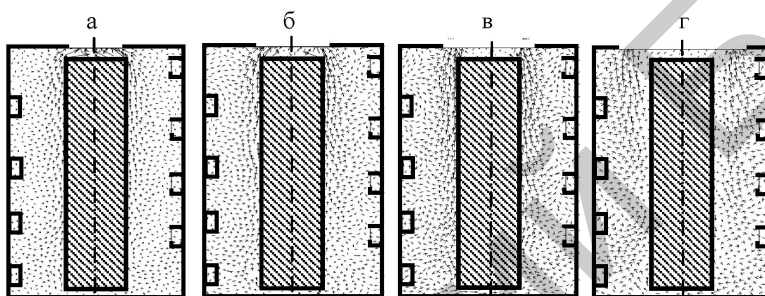


Рис. 3. Схемы осевых иррадиальных движений потока при различных значениях  $\bar{d}_{\text{вых}}$ :  
а –  $\bar{d}_{\text{вых}} = 0,3$ ; б – 0,4; в – 0,5; г – 0,7

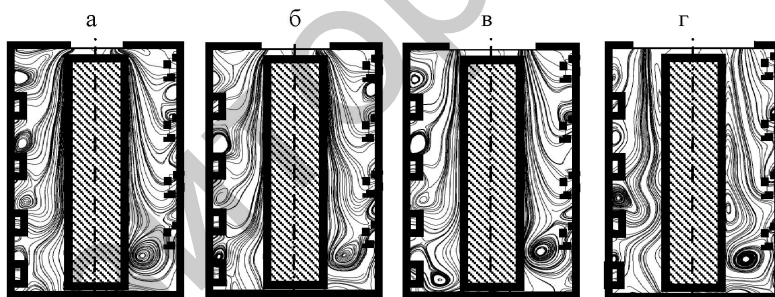


Рис. 4. Траектории движения циклонного потока при различных значениях  $\bar{d}_{\text{вых}}$ :  
а –  $\bar{d}_{\text{вых}} = 0,3$ ; б – 0,4; в – 0,5; г – 0,7

Представленные данные позволяют отметить, что поле скоростей в рабочем объеме циклонного устройства отличается сложностью и пространственностью, обилием циркуляционных и вихревых зон, предопределяющих интенсивное перемешивание газов. В связи с общим смещением шлицев одной стороны рабочего объема по сравнению с другой (диаметрально противоположной) к выходному торцу рабочего объема наблюдается некоторое нарушение осевой симметрии вторичных течений как в периферийной зоне (у боковой поверхности рабочего объема), так и в центральной (околозаготовочной). Общая картина вторичных течений при  $\bar{d}_{\text{вых}} = 0,3–0,5$  практически сохраняется. При  $\bar{d}_{\text{вых}} = 0,7$  наблюдается нарушение

устойчивости и проточности течения в окрестности заготовки, появляются вытянутые в продольном направлении циркуляционные зоны, оттесняющие выходной вихрь от ее поверхности. Истечение газов из камеры в этом случае происходит по кольцу, имеющему внутренний диаметр, несколько больший, чем при меньших  $\bar{d}_{\text{вых}}$ . Схема течения потока в нижней части рабочего объема, примыкающей к глухому торцу, в меньшей степени зависит от диаметра выходного отверстия камеры.

## ВЫВОДЫ

1. Программный комплекс CFX<sup>®</sup> 10.0 может быть использован для определения аэродинамических характеристик циклонно-вихревых нагревательных устройств и дальнейшего совершенствования методики их аэrodinamического расчета. Однако необходимая точность расчетов при применяемых в настоящее время моделях турбулентности  $k-\omega$ ,  $k-\epsilon$  и RSM, вероятно, может быть достигнута лишь в определенных диапазонах геометрических и режимных характеристик нагревательных устройств. Интервал диапазонов зависит от их технологического назначения и может быть определен сопоставлением результатов численного и физического экспериментов.
2. Численный эксперимент с использованием CFX<sup>®</sup> 10.0 позволяет исследовать структуру вторичных течений циклонного потока, что часто сложно осуществить применяемыми в настоящее время методами физического эксперимента.

## ЛИТЕРАТУРА

1. Сабуров, Э. Н. Циклонные нагревательные устройства с интенсифицированным конвективным теплообменом / Э. Н. Сабуров. – Архангельск: Арханг. гос. техн. ун-т; Сев.-Зап. кн. из-во, 1995. – 341 с.
2. Сабуров, Э. Н. Теория и практика циклонных сепараторов, топок и печей / Э. Н. Сабуров, С. В. Карпов; под ред. Э. Н. Сабурова. – Архангельск: Изд-во Арханг. гос. техн. ун-та, 2000. – 568 с.
3. Сабуров, Э. Н. Аэродинамика и конвективный теплообмен в циклонных нагревательных устройствах / Э. Н. Сабуров. – Л.: Изд-во ЛГУ, 1982. – 240 с.
4. ANSYS<sup>®</sup> CFX<sup>®</sup>-10.0<sup>TM</sup> Users Guide.
5. Сабуров, Э. Н. Численное исследование аэродинамики и вихревой структуры потока циклонно-вихревой камеры с разносторонним вводом-выводом газов / Э. Н. Сабуров, А. Н. Малыцев // Наука – Северному региону: сб. – Вып. 76. – Архангельск, 2008. – С. 142–157.
6. Осташев, С. И. Результаты численного моделирования аэродинамики циклонных секционных нагревательных устройств с поперечной подачей заготовок / С. И. Осташев, Э. Н. Сабуров, А. Н. Малыцев // Вестник Арханг. гос. техн. ун-та. – Сер. Энергетика. – Вып. 63. – Архангельск: Изд-во Арханг. гос. техн. ун-та, 2006. – 142 с.
7. Hoekstra, A. J. An experimental and numerical study of turbulent swirling flow in gas cyclones [текст] / A. J. Hoekstra, J. J. Derkxen, Van Den Akker // Chem. Eng. Sci.– 1999. – № 54. – P. 2055–2065.
8. Griffiths, W. D. Computational Fluid Dynamics (CFD) and Empirical Modeling of the Performance of a Number of Cyclone Samplers / W. D. Griffiths, F. Boysan // Journal of Aerosol Science. – 1996. – № 2. – P. 281–304.

Представлена кафедрой